

# Влияние электрического поля на напряженное состояние гетероструктуры

© Р.М. Пелешак, Б.А. Лукиянец\*, Г.Г. Зегря†

Дрогобычский государственный педагогический университет им. Ив. Франко,  
293720 Дрогобыч, Украина

\* Государственный университет "Львівська политехніка",  
79013 Львов, Украина

† Физико-технический институт им. А.Ф. Иоффе Российской академии наук,  
194021 Санкт-Петербург, Россия

(Получена 21 марта 2000 г. Принята к печати 27 марта 2000 г.)

В рамках электронно-деформационной модели рассмотрен механизм возникновения электронно-деформационного диполя на механически напряженной гетерогранице. На примере гетероструктуры ZnSe/ZnS показано, что при наложении внешнего электрического поля  $\sim 120$  кВ/см по нормали к плоскости ее гетерограницы решетка ZnSe (ZnS) претерпевает дополнительную деформацию сжатия  $\sim 4\%$  ( $\sim 3\%$ ), а при противоположном направлении поля — деформацию растяжения  $\sim 5\%$  ( $\sim 5\%$ ).

## 1. Введение

Современная технология (в частности, молекулярно-лучевая эпитаксия [1]) позволяет получать гетероструктуры с рассогласованными параметрами контактирующих решеток (например, ZnS/ZnSe [2]), или, в общем случае, их кристаллографических характеристик. Несогласованность решеток порождает деформацию в окрестности гетероконтакта. Характер и степень такой деформации можно регулировать толщиной наращиваемого слоя [3]. Цель настоящей работы — показать, что этого можно добиться также наложением внешнего электрического поля. При этом мы будем пользоваться самосогласованной моделью, учитывающей взаимодействие механической деформации с электронной подсистемой кристаллической структуры, развитой в работе [4]. Направленное регулирование механически напряженного состояния гетероструктуры с помощью внешнего электрического поля позволяет непрерывно перестраивать в определенном диапазоне ее физические характеристики. Это в ряде случаев должно привести к качественно новым результатам.

Далее в рамках модели [4] будет рассмотрен механизм образования "электронно-деформационного диполя" (ЭДД) на напряженной гетерогранице, рассчитан его дипольный момент, проанализировано влияние внешнего электрического поля через ЭДД на напряженное состояние гетерограницы, приведена численная оценка такого влияния на примере гетероструктуры ZnS/ZnSe.

Заметим, что решение данной задачи может быть реализовано несколькими способами. Один из них — рассматривать *ab initio* гетероструктуру во внешнем электрическом поле. Тогда в гамильтониане задачи появится слагаемое, которое в узельном представлении имеет вид  $\sum_m e \mathbf{E} r_{mm} c_m^+ c_n$  ( $\mathbf{E}$  — напряженность электрического поля). Такое слагаемое не повлияет на уравнение, описывающее условие механического равновесия (см. далее), но самосогласованное нахождение электронного

коррелятора  $\langle c_k^+ c_{k'} \rangle$  [4], а в конечном счете и параметр деформации будут функцией электрического поля.

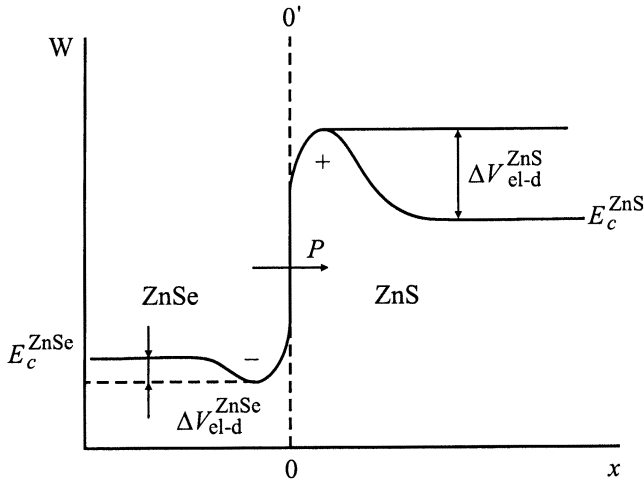
Другой способ, использованный далее, — решение задачи в два этапа. На первом этапе рассматриваются электронно-деформационные эффекты в гетероструктуре в отсутствие внешнего электрического поля, в частности образование дипольного момента. Эффекты поля рассматриваются лишь на втором этапе.

Понятно, что оба подхода должны приводить к одним и тем же окончательным результатам. Однако второй использованный нами способ позволяет глубже понять физический механизм рассматриваемой задачи.

## 2. Электронно-деформационный диполь напряженной гетерограницы

В отличие от пограничных диполей, природа которых связана с состояниями в запрещенной зоне, возникшими из-за разрыва зон контактирующих гетерообластей [5], ЭДД возникает на напряженной гетерогранице из-за рассогласования постоянных решеток  $a_\beta$ . Здесь  $\beta = 1, 2$ , где индекс "1" соответствует области  $L_w \leq x \leq 0$  узкощелевого кристалла (в случае гетероструктуры ZnS/ZnSe это ZnSe с шириной запрещенной зоны  $\Delta E_{\text{ZnSe}} = 2.822$  эВ), а "2" — области  $0 \leq x \leq L_w$  материала с широкой запрещенной зоной (ZnS с  $\Delta E_{\text{ZnS}} = 3.840$  эВ). Далее мы будем полагать  $L_w \rightarrow \infty$ .

Первопричина ЭДД — локальное перераспределение носителей на напряженной гетерогранице вследствие электронно-деформационного взаимодействия [4], а именно, возникновение области с избытком электронов (в ZnSe в окрестности  $x = 0^-$ ) и их недостатком (в ZnS в окрестности  $x = 0^+$ , рис. 1). Таким образом, на напряженной гетерогранице (плоскость  $x = 0$ , см. рис. 1) образуется ЭДД, момент которого  $\mathbf{P}$  перпендикулярен к



**Рис. 1.** Энергетическая диаграмма механически напряженной гетерограницы ZnSe/ZnS с учетом электронно-деформационного взаимодействия.  $P$  — дипольный момент,  $\Delta V_{el-d}(x)$  — локальное изменение высоты потенциального барьера или дна потенциальной ямы из-за электронно-деформационного взаимодействия.

плоскости гетероконтакта. Его величина равна [6]

$$P = -es \int_{-\infty}^{\infty} x \Delta n(x), \quad (1)$$

где  $s = L_y L_z$  — площадь гетерограницы,  $\Delta n(x)$  — изменение электронной плотности из-за электронно-деформационного взаимодействия.

Рассматриваемая задача может быть описана гамильтонианом, который в узельном представлении в рамках однозонной модели имеем вид

$$\hat{H} = \sum_{i\sigma} [W_i + a_{ci}\varepsilon(\mathbf{r}_i)] c_{i\sigma}^+ c_{i\sigma} + \sum_{ij\sigma} \lambda_{ij}^0 c_{i\sigma}^+ c_{j\sigma} + \frac{1}{2} \sum_i K_i \Omega_0 \varepsilon^2(\mathbf{r}_i) + \hat{H}_{Coul}, \quad (2)$$

где  $c_{i\sigma}^+, c_{i\sigma}$  — ферми-операторы ( $\sigma$  — спиновый индекс),  $W_i$  — положение электронного уровня на узле с радиусом-вектором  $\mathbf{R}_i$ , а  $a_{ci}\varepsilon(\mathbf{r}_i)$  — его смещение из-за электронно-деформационного взаимодействия ( $a_{ci}$  — константа гидростатического деформационного потенциала, равная  $a_1(a_2)$  для узлов в областях 1 (2);

$$\varepsilon(\mathbf{r}_i) = \frac{\Omega(\mathbf{r}_i) - \Omega_0}{\Omega_0}$$

— относительное изменение объема элементарной ячейки  $\Omega_0$ );  $\lambda_{ij}^0$  — интеграл электронного перемешивания между узлами  $\mathbf{R}_i$  и  $\mathbf{R}_j$  без учета деформации;  $\mathbf{K}_i$  — решеточная упругая жесткость;  $\hat{H}_{Coul}$  — электронное кулоновское взаимодействие.

Для нахождения электронной плотности  $\Delta n(x)$  требуется самосогласованное решение системы следующих уравнений [4]:

— стационарного уравнения Шредингера в механически напряженной системе

$$\left[ \nabla^2 - \frac{a_c}{\alpha} \varepsilon(\mathbf{r}) + \frac{e}{\alpha} \varphi(\mathbf{r}) \right] \Psi_n(\mathbf{r}) = -\frac{1}{\alpha} [E_n - (W - \Delta_\lambda)] \Psi_n(\mathbf{r}), \quad (3)$$

где  $\Delta_\lambda$  — ширина зоны,  $\alpha = \hbar^2/2m^*$ ;

— условия механического равновесия

$$\left\langle \frac{\partial \hat{H}}{\partial \varepsilon(\mathbf{r})} \right\rangle = \sigma_{mech} V, \quad (4)$$

$V$  — объем кристалла;

— уравнения, определяющего положение химического потенциала,

$$\bar{n} = \frac{\Omega_0}{V} \int n(\mathbf{r}) d\mathbf{r}, \quad 0 \leq n \leq 2; \quad (5)$$

— уравнения, определяющего концентрацию носителей  $n(\mathbf{r})$ ,

$$n(\mathbf{r}) = \sum_{\mathbf{k}\mathbf{k}'\sigma} \langle c_{\mathbf{k}\sigma}^+ c_{\mathbf{k}'\sigma} \rangle \exp[-i(\mathbf{k} - \mathbf{k}')\mathbf{r}], \quad (6)$$

где  $\langle c_{\mathbf{k}\sigma}^+ c_{\mathbf{k}'\sigma} \rangle$  — фурье-трансформанта коррелятора  $\langle c_{i\sigma}^+ c_{j\sigma} \rangle$ ;

— уравнения Пуассона, определяющего электростатический потенциал  $\varphi(\mathbf{r})$ , вызванный перераспределением электронной плотности  $\Delta n(x)$ .

В результате

$$\Delta n(x) = R[e\varphi(x) - V_{mech}], \quad (7)$$

где

$$R = \left( \frac{3}{8\pi^4} \right)^{1/3} \frac{1}{\alpha} \frac{\bar{n}_0^{1/3} \sqrt{1 + q\bar{n}_0^{1/3}}}{1 - \frac{3}{2} q\bar{n}_0^{1/3} \sqrt{1 + q\bar{n}_0^{1/3}}} \quad (8)$$

с

$$q = \frac{a_c^2}{(3\pi^2)^{2/3} \alpha K}, \quad (9)$$

$\bar{n}_0$  — средняя концентрация носителей, а

$$V_{mech} = a_c \varepsilon_{mech} \quad (10)$$

— потенциальная энергия электронов, обусловленная механическим искажением решетки из-за рассогласования параметров решеток  $a_1$  и  $a_2$  в плоскости гетерограницы (для ZnSe/ZnS  $(b_1 - b_2)/b_1 \approx 4\%$  [3]).

Выше, в уравнениях (3)–(10), следует учесть опущенный индекс  $\beta = 1, 2$  в зависимости от рассматриваемой

области гетероструктуры. В соотношении (8)  $\bar{n}_{0\beta}$  — средняя концентрация носителей в  $\beta$ -м материале. С учетом индекса  $\beta$  параметр механической деформации в области  $\beta$ ,  $\varepsilon_{\beta\text{mech}}$ , определяется следующим выражением:

$$\varepsilon_{\text{mech}}(\mathbf{E}) = \text{Sp}\hat{\varepsilon}_{\text{mech}} = \frac{1}{a} [2a_{\parallel}(\mathbf{E}) + a_{\perp\beta}(\mathbf{E})] - 3, \quad (11)$$

где

$$a_{\parallel}(\mathbf{E}) = \frac{a_1 G_1 + a_2 G_2}{G_1 + G_2} \quad (12)$$

— параметр решетки в плоскости механически напряженной гетерограницы при наложении электрического поля  $\mathbf{E}$  перпендикулярно к ней ( $G_{\beta}$  — модуль сдвига области  $\beta$ );

$$a_{\beta\perp}(\mathbf{E}) = a_{\beta} \left[ 1 - D_{\beta} \left( \frac{a_{\parallel}(\mathbf{E})}{a_{\beta}} - 1 \right) \right], \quad (13)$$

где  $D_{\beta}$  — коэффициент, определяемый отношением упругих постоянных и зависящий от кристаллографической ориентации. Для ориентации (100)  $D_{\beta} = 2c_{12}^{\beta}/c_{11}^{\beta}$  [3], где  $c_{11}^{\beta}$ ,  $c_{12}^{\beta}$  — упругие константы.

Из соотношения (1) следует, что дипольный момент  $P$  пропорционален площади контактирующих областей. Такой вывод, аналогичный выводу о пропорциональности дипольного момента длине прямолинейной дислокации [7], и есть проявление того, что зарядовое перераспределение не зависит от координат плоскости контакта. Подобный вывод содержится в выражении для свободной энергии упругого поля, созданного дислокацией [8].

Потенциал поля  $\varphi_{\beta}(x)$ , возникающего вследствие локального перераспределения носителей в окрестности механически напряженной гетерограницы [4], может быть определен из решения уравнений Пуассона для 1-й и 2-й областей гетероструктуры:

$$\frac{d^2 \varphi_{\beta}}{dx^2} - \lambda_{\beta}^2 \varphi_{\beta} = -\frac{\lambda^2}{e} \Delta V_{\beta\text{mech}}. \quad (14)$$

За начало отсчета потенциалов  $\varphi_{\beta}(x)$  выбрано дно проводимости 1-го материала. В соотношении (14)

$$\lambda_{\beta}^2 = \frac{e^2 R_{\beta}}{\varepsilon_{\beta} \varepsilon_0},$$

где  $\varepsilon_{\beta}$  — статическая диэлектрическая проницаемость  $\beta$ -го материала (например, ZnSe), а  $\varepsilon_0$  — диэлектрическая постоянная.

Решения (14) с учетом конечности потенциала  $\varphi_{\beta}(x)$  при  $x \rightarrow \pm\infty$  равны

$$\varphi_1(x) = A \exp(\lambda_1 x) + \frac{V_{1\text{mech}}}{e}, \quad (15)$$

$$\varphi_2(x) = B \exp(-\lambda_2 x) + \frac{V_{2\text{mech}}}{e}. \quad (16)$$

Коэффициенты  $A$  и  $B$  в этих уравнениях определяются из условий непрерывности потенциалов  $\varphi_1(x)$  и  $\varphi_2(x)$  на

напряженной гетерогранице, т.е. при  $x = 0$ , и нормальной составляющей вектора электрического смещения  $D^m(x)$  и  $D^n(x)$  при  $x = 0$ :

$$A = -\frac{V_{1\text{mech}} - V_{2\text{mech}}}{e} \frac{1}{1 + \sqrt{\frac{R_1 \varepsilon_1}{R_2 \varepsilon_2}}}, \quad (17)$$

$$B = \frac{V_{1\text{mech}} - V_{2\text{mech}}}{e} \frac{1}{1 + \sqrt{\frac{R_2 \varepsilon_2}{R_1 \varepsilon_1}}}. \quad (18)$$

Подставляя (7) в (1) с учетом (15), (16), получим явное выражение для дипольного момента  $P$ , возникающего на напряженной гетерогранице вследствие электронно-деформационного взаимодействия:

$$P = \frac{(V_{1\text{mech}} - V_{2\text{mech}}) s \varepsilon_0}{|e|} \left( \frac{\varepsilon_1}{1 + \sqrt{\frac{R_1 \varepsilon_1}{R_2 \varepsilon_2}}} + \frac{\varepsilon_2}{1 + \sqrt{\frac{R_2 \varepsilon_2}{R_1 \varepsilon_1}}} \right). \quad (19)$$

В случае ненапряженной гетерограницы  $V_{\beta\text{mech}} = 0$  и, как следует из (19), дипольный момент  $P$  равен нулю.

### 3. Изменение напряженного состояния гетерограницы ZnSe/ZnS посредством действия внешнего электрического поля

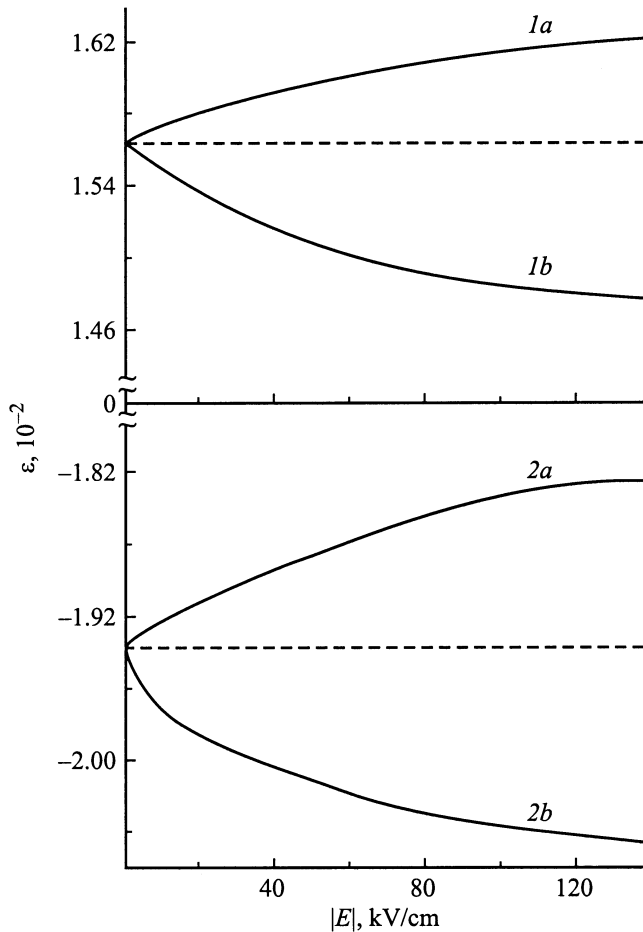
Естественно предположить, что наличие дипольного момента  $P$  (19) в гетероструктуре с напряженной гетерограницей может быть использовано для изменения ее механически напряженного состояния внешним электрическим полем  $\mathbf{E}$  (см. рис. 1). При этом ЭДД во внешнем электрическом поле приобретает потенциальную энергию

$$\Delta W_p = \mathbf{P} \mathbf{E}. \quad (20)$$

В частности, в нашей задаче геометрия электрического поля такова, что  $|\cos \alpha| = 1$ ,  $\alpha$  — угол между векторами  $\mathbf{P}$  и  $\mathbf{E}$  (на рис. 2  $\alpha = 0$  для кривых  $1b$ ,  $2b$  и  $\alpha = \pi$  для кривых  $1b$ ,  $2b$ ). Эта энергия идет на изменение упругой энергии 1-го и 2-го материалов:

$$|\mathbf{P} \mathbf{E}| = \frac{k}{2} [\Delta a_{i\perp}(\mathbf{E}) + \Delta a_{j\perp}(\mathbf{E})]^2, \quad (21)$$

где  $k = k_1 k_2 / (k_1 + k_2)$  — коэффициент жесткости напряженной гетероструктуры ( $k_{\beta} = E_{\beta} s / a_{\perp}^{\beta}(0)$  — коэффициент жесткости, а  $E_{\beta}$  — модуль Юнга  $\beta$ -го материала);  $\Delta a_{\beta\perp}(\mathbf{E})$  — изменение параметра решетки  $\beta$ -го материала в направлении, перпендикулярном к плоскости механически напряженной гетерограницы, вследствие взаимодействия внешнего электрического поля с полем локального перераспределения носителей в окрестности гетерограницы;  $a_{\beta\perp}(0)$  — параметр решетки  $\beta$ -го материала вдоль оси  $0x$  в отсутствие внешнего электрического поля.



**Рис. 2.** Зависимость параметра деформации  $\varepsilon_\beta(\mathbf{E})$  от величины внешнего электрического поля  $\mathbf{E}$  для решеток:  $1a, 1b$  — ZnS,  $2a, 2b$  — ZnSe; зависимости  $1a, 2a$  соответствуют случаю  $E \parallel P$  ( $\alpha = 0$ ),  $1b, 2b$  — случаю антипараллельного направления  $E$  и  $P$  ( $\alpha = \pi$ ).

Уравнение (19) совместно с уравнением

$$k_1 \Delta a_{1\perp}(\mathbf{E}) = k_2 \Delta a_{2\perp}(\mathbf{E}), \quad (22)$$

описывающим механическое равновесие на гетерогранице, образуют систему уравнений, решением которой является

$$\Delta a_{1\perp}(\mathbf{E}) = \pm \sqrt{\frac{2a_{1\perp}(0)|\mathbf{PE}|}{sE_1 \left(1 + \frac{a_{2\perp}(0)E_1}{a_{1\perp}(0)E_2}\right)}}. \quad (23)$$

Здесь знак "+" ("−") соответствует дополнительной деформации растяжения (сжатия), возникающей вследствие наложения на гетероструктуру электрического поля  $\mathbf{E} = (-E_x, 0, 0)$  ( $\mathbf{E} = (E_x, 0, 0)$ ) (см. рис. 1). Тогда выражение для параметра деформации  $\varepsilon_\beta(\mathbf{E})$  в зависимости от поля  $\mathbf{E}$  с учетом (11), (13), (23) равно

$$\varepsilon_\beta(\mathbf{E}) = 2 \left(1 + \frac{1}{D_\beta}\right) + \frac{1}{a_\beta} \left(1 - \frac{2}{D_\beta}\right) \times (a_{\beta\perp}(0) + \Delta a_{\beta\perp}(\mathbf{E})). \quad (24)$$

Таким образом, приложенное электрическое поле изменяет локальное перераспределение электронной плотности на величину  $\delta n(\mathbf{E}) = \Delta n(\mathbf{E}) - \Delta n(0)$ , а это в свою очередь влечет за собой изменение "электронной составляющей деформации"  $\Delta V_{\beta\text{el-d}}(\mathbf{E}) = -\frac{[a_\beta c]}{K_\beta} \Delta n(\mathbf{E})$  [4]. В зависимости от знака  $\Delta n(\mathbf{E})$  деформация решеток ZnSe и ZnS может быть либо деформацией растяжения ( $\Delta n(\mathbf{E}) < 0$ ), либо деформацией сжатия (при  $\Delta n(\mathbf{E}) > 0$ ).

Для иллюстрации выводов предлагаемой модели проследим влияние внешнего электрического поля  $\mathbf{E}$  на характер и степень деформации решеток гетероструктуры ZnSe/ZnS со следующими параметрами:

$$\begin{aligned} E_i &= 0.282 \text{ эВ}/\text{\AA}^3, E_j = 0.347 \text{ эВ}/\text{\AA}^3, \\ a_i &= 5.6687 \text{ \AA}, a_j = 5.4093 \text{ \AA}, \\ a_{ic} &= -3.65 \text{ эВ}, a_{jc} = -2.78 \text{ эВ}, \\ D_{i001} &= 1.206, D_{j001} = 1.248, \\ G_{i001} &= 0.9044 \text{ эВ}/\text{\AA}^3, G_{j001} = 1.1269 \text{ эВ}/\text{\AA}^3 [3,5], \\ \bar{n}_{i0} &= 10^{18} \text{ см}^{-3}, \bar{n}_{j0} = 10^{16} \text{ см}^{-3}, \\ m_{ic} &= 0.17m_0, m_{jc} = 0.25m_0, \varepsilon_i = 8.1, \varepsilon_j = 8.3. \end{aligned}$$

На рис. 2 приведены рассчитанные зависимости  $\varepsilon_\beta(\mathbf{E})$  для двух случаев:  $a$  — электрическое поле направлено перпендикулярно к плоскости гетерограницы от ZnSe к ZnS и  $b$  — с противоположно направленным электрическим полем.

Как следует из рис. 2, с увеличением электрического поля решетки ZnS и ZnSe претерпевают либо дополнительную деформацию растяжения (кривые  $1a, 2a$ ), либо сжатия (кривые  $1b, 2b$ ) в зависимости от направления электрического поля. В частности, при значении электрического поля  $E = 120$  кВ/см кристаллическая решетка ZnSe претерпевает дополнительную деформацию растяжения на величину  $\sim 4\%$  или сжатия на  $\sim 5\%$ , а решетка ZnS соответственно на  $\sim 3$  и  $\sim 5\%$ . Представленные кривые  $\varepsilon_\beta(\mathbf{E})$  показывают, что решетка ZnSe более чувствительна к деформации, чем ZnS. Это объясняется тем, что податливость решетки ZnSe выше, чем решетки ZnS.

Эффект усиления (ослабления) напряженного состояния гетероструктуры ZnSe/ZnS электрическим полем, по-видимому, может быть использован при наращивании слоев гетероструктуры с несогласованными параметрами решеток.

## Список литературы

- [1] Б.А. Джойс. *Молекулярно-лучевая эпитаксия и гетероструктуры* (М., Мир, 1989).
- [2] М.С. Бродин, В.В. Тищенко, Н.В. Боднар, А.В. Коваленко, А.Ю. Мекекечко. УФЖ, **37**, 1802 (1992).
- [3] G. Chris, Van de Walle. Phys. Rev. B, **39**, 1871 (1989).
- [4] И.В. Стасюк, Р.М. Пелешак. УФЖ, **36**, 1744 (1991).
- [5] Ф. Бехшидедт, Р. Эндерлайн. *Поверхности и границы раздела полупроводников* (М., Мир, 1990) с. 425.
- [6] Л.Д. Ландау, Е.М. Лифшиц. *Электродинамика сплошных сред* (М., Наука, 1982) с. 35.
- [7] Р.М. Пелешак, Б.А. Лукиянец. Письма ЖТФ, **24**(2), 37 (1998).

[8] А.М. Косевич. *Основы механики кристаллической решетки* (М., Наука, 1972).

Редактор Т.А. Полянская

## **Influence of electric field on stressed state of heterostructure**

R.M. Peleshchak, B.A. Lukiyanets\*, G.G. Zegrya<sup>+</sup>

Drohobych State Pedagogical University,  
293720 Drohobych, Ukraine

\* State University "Lvivska Politehnika",  
79013 Lviv, Ukraine

<sup>+</sup> Ioffe Physicotechnical Institute,  
Russian Academy of Sciences,  
194021 St. Petersburg, Russia

**Abstract** Within the framework of an electron-deformation model the mechanism of the electron-deformation dipole occurrence at a stressed heterointerface is considered. It is shown that the electric field  $\sim 120$  kV/cm, when applied along the normal to ZnSe/ZnS interface, leads to additional  $\sim 4\%$  ( $\sim 3\%$ ) ZnSe (ZnS) lattice compression strain and to  $\sim 5\%$  ( $\sim 5\%$ ) lattice tensile strain under the opposite direction of the electric field.